

تعیین گونه‌های سارکوویستیس گوسفندان ذبح شده در کشتارگاه زیاران قزوین با روش PCR-RFLP

عبدالحسین دلیمی^۱، حبیب‌الله پایکاری^{۲*}، مجید اسماعیل‌زاده^۳، محسن ولی‌زاده^۴، غلامرضا کریمی^۵،
غلامرضا معتمدی^۶، محمد عبدی گودرزی^۷

- ۱- استاد، گروه انگل‌شناسی، دانشکده علوم پزشکی، دانشگاه تربیت مدرس، تهران، ایران
- ۲- استادیار، گروه انگل‌شناسی، مؤسسه تحقیقات واکسن و سرم‌سازی رازی، کرج، ایران
- ۳- مریبی، گروه بیوتکنولوژی، مؤسسه تحقیقات واکسن و سرم‌سازی رازی، کرج، ایران
- ۴- مریبی، گروه انگل‌شناسی، مؤسسه تحقیقات واکسن و سرم‌سازی رازی، کرج، ایران
- ۵- استادیار، گروه انگل‌شناسی، مؤسسه تحقیقات واکسن و سرم‌سازی رازی، کرج، ایران
- ۶- مریبی، گروه انگل‌شناسی، مؤسسه تحقیقات واکسن و سرم‌سازی رازی، کرج، ایران
- ۷- استادیار، گروه انگل‌شناسی، مؤسسه تحقیقات واکسن و سرم‌سازی رازی، کرج، ایران

پذیرش مقاله: ۸۷/۱۰/۳ دریافت مقاله: ۸۷/۸/۵

چکیده

هدف: سارکوویستیس از شاخه اپی‌کمپلکسا است که زندگی دو میزانه اجباری دارد. علف‌خواران (میزان واسط) با خوردن آب و غذای آلوده به اسپرسیست‌ها که توسط گوشت خواران (میزان اصلی) دفع می‌شود، آلوده می‌شوند و متعاقب آن کیست‌های نسجی در احساء ایجاد می‌شود. هدف از مطالعه حاضر شناسایی گونه‌های مختلف سارکوویستیس گوسفندان با استفاده از PCR-RFLP بوده است.

مواد و روش‌ها: در مطالعه حاضر مجموعاً ۶۰ نمونه بافتی از عضلات قلب، مری و دیافراگم از گوسفندان ذبح شده در کشتارگاه زیاران قزوین جمع‌آوری شد که ۴۰ نمونه آن حاوی کیست‌های ماکروسکوپی و ۲۰ نمونه آن حاوی کیست‌های میکروسکوپی بود. تخلیص DNA نمونه‌ها با استفاده از کیت صورت گرفت. شرایط PCR برای تکثیر قطعه ۱۸S rRNA ۱۸ بهینه شد. برای بررسی اختصاصی بودن، آغازگرهای نمونه‌های DNA نوسپورا و توکسوپلاسمای نیز در کنار نمونه‌های سارکوویستیس تحت مطالعه قرار گرفت. برای تعیین گونه سارکوویست‌های تحت مطالعه، با توجه به موقعیت محل برش آنریم‌های برش دهنده، اقدام به انتخاب آنریم شد.

نتایج: نتایج نشان داد که آغازگرهای ماکروسکوپی متعلق به سارکوویستیس را از سایرین متمایز می‌سازد. ارزیابی PCR-RFLP روی نمونه‌ها نشان داد که کیست‌های ماکروسکوپی متعلق به سارکوویستیس ژیگانته‌آ و کیست‌های میکروسکوپی متعلق به سارکوویستیس آریتی کنیس است.

نتیجه‌گیری: با استفاده از آغازگرهای طراحی شده و برگذاشت روش PCR-RFLP گونه‌های سارکوویستیس گوسفندی را می‌توان از هم تفکیک داد. در این روش برای تفکیک گونه‌های متعلق به کیست‌های میکروسکوپی گوسفندان *TaqI* و *HincII* برای تفکیک گونه‌های متعلق به کیست‌های ماکروسکوپی *TaqI* و *HincII* مؤثرتر از سایرین هستند.

کلیدواژگان: سارکوویستیس، PCR-RFLP، ۱۸S rRNA، سارکوویستیس ژیگانته‌آ، سارکوویستیس آریتی کنیس.

* نشانی مکاتبه: کرج، مؤسسه واکسن و سرم‌سازی رازی، گروه انگل‌شناسی، صندوق پستی: ۳۱۹۷۵-۱۴۸

Email: h.paykari@rvsri.ir

مطالعه رضوی (Razavi) و همکاران (۲۰۰۳) و ارشد (Arshad) و همکاران (۲۰۰۷) که از روش هضمی برای تعیین آلودگی استفاده کرده‌اند، میزان آلودگی لاش‌های گوسفندان شیراز و تبریز ۱۰۰ درصد گزارش شد [۹، ۸]. سابقاً برای طبقه‌بندی گونه‌های سارکوستیس از شاخص‌هایی از قبیل خصوصیات ریخت‌شناسی (Morphology) کیست‌ها (شکل اندازه و ضخامت دیواره)، میزان اختصاصی، خصوصیات فرا ریزبینی دیواره کیست و خصوصیات ایزوآنژیمی گونه‌ها استفاده می‌شده است. در سال‌های اخیر استفاده از روش‌های مولکولی برای تشخیص گونه‌های مختلف سارکوستیس رایج شده است. در این رابطه می‌توان به مطالعات تنتر (Tenter) و همکاران (۱۹۹۲)، هولدمال (Holmdahl) و همکاران (۱۹۹۳)، تنتر و همکاران (۱۹۹۴)، تنتر (۱۹۹۵)، جفریز (Jeffries) و همکاران (۱۹۹۶)، جواشیم (Joachim) و همکاران (۱۹۹۶)، ماگریج (Heckeroth) و همکاران (۱۹۹۹) و هکرود (Mugridge) و تنتر (۱۹۹۹) و یانگ (Yang) و همکاران (۲۰۰۲) اشاره کرد [۱۰-۱۸]. در اکثر این مطالعات از تکثیر قطعه ژن ۱۸S rRNA برای شناسایی گونه‌ها استفاده شده است. هدف از مطالعه حاضر شناسایی گونه‌های مختلف سارکوستیس گوسفندان با استفاده از تکثیر قطعه ۱۸S rRNA و برش آنژیمی بوده است.

۲- مواد و روش‌ها

۱-۱- جمع‌آوری و آماده‌سازی کیست‌ها

با مراجعه به کشتارگاه زیاران شهرستان قزوین عضلات قلب، مری و دیافراگم آلوده به سارکوستیس از لاشه گوسفندان کشتارگاه جمع‌آوری و به آزمایشگاه منتقل شد. علاوه بر برداشت ۲۵ گرم از عضلات، سارکوستیس‌هایی که با چشم به راحتی مشاهده می‌شدند با اسکالپل (Scalpel) به دقت از عضله خارج شده و در ظروف جداگانه جمع‌آوری شدند سپس سارکوستیس‌ها

۱- مقدمه

سارکوستیس (*Sarcocystis*) تک یاخته‌ای از شاخه اپی‌کمپلکسا (Apicomplexa) است که آلودگی به آن از سراسر دنیا گزارش شده است [۱، ۲]. این انگل علاوه بر انسان تعداد زیادی از حیوانات پستاندار و همچنین گونه‌های مختلف پرندگان را آلوده می‌سازد و قادر است در چندین میزان قطعی آلودگی ایجاد نماید [۱، ۲]. سارکوستیس‌ها (*Sarcocysts*) کیست‌های بافتی انگل است که دارای دیواره کیستی بوده و مراحل متروسیت (Metrocyt) یا زوئیت (Zoite) انگل را احاطه می‌نماید. ساختمان و ضخامت دیواره کیست در بین گونه‌های سارکوستیس و با بالغ شدن سارکوستیس در درون هر گونه متفاوت است [۱، ۲].

اندازه و شکل سارکوستیس‌ها در ارتباط با گونه انگل متفاوت است برخی از سارکوستیس‌ها به اندازه میکروسکوپی باقی مانده (به عنوان مثال: سارکوستیس آریتیس کانیس (*Sarcocystis arcticus*) در حالی که برخی دیگر ماکروسکوپی (به عنوان مثال: سارکوستیس ژیگانته آ (*S. gigantea*)) می‌شوند. سارکوستیس‌های میکروسکوپی از اندازه خیلی بلند و باریک تا کوتاه و پهن متغیرند. سارکوستیس‌های ماکروسکوپی به اشکال رشتی‌ای شبیه دانه برنج یا کروی هستند [۱، ۲].

جنس سارکوستیس دارای ۹۳ گونه است که چهار گونه آن شامل سارکوستیس تنلا (*S. tenella*) و سارکوستیس آریتیس کانیس که از طریق سگسانان و سارکوستیس ژیگانته آ و سارکوستیس مدوزیفورمیس (*S. medusiformis*) که به وسیله گربه‌ها منتقل می‌شود، آلوده‌کننده گوسفندان هستند. آلودگی گوسفندان به سارکوستیس تاکنون از اکثر نقاط جهان گزارش شده است. در ایران تاکنون گزارش‌های متعددی در مورد آلودگی گوسفند به سارکوستیس ارائه شده است [۳-۹]. در اکثر این مطالعات از روش هضمی برای تعیین درصد آلودگی استفاده نشده بود. بنابراین احتمال می‌رود که درصد آلودگی گزارش شده کمتر از مقدار واقعی باشد. در

۵ دقیقه، ۳۰ چرخه ۹۴ درجه سانتی گراد به مدت ۲ دقیقه، ۵۷ درجه سانتی گراد به مدت ۳۰ ثانیه، ۷۲ درجه سانتی گراد به مدت ۲ دقیقه، ۷۲ درجه سانتی گراد به مدت ۵ دقیقه و نگهداری در ۴ درجه سانتی گراد.

۵-۲- بهینه سازی پارامترهای PCR

برای تهیه محلول واکنش (Mixed PCR) به روش زیر عمل شد: ۱۲ میکرولیتر آب قطر تزریقی و ۳ میکرولیتر بافر X و ۲ میکرولیتر کلرید منزیم (۱/۵۰ میلی مولار) و ۰/۵ میکرولیتر dNTP و ۲ میکرولیتر آغازگر (۱۰ پیکومول) و ۱۰ میکرولیتر از DNA و ۰/۵ میکرولیتر آنزیم *Taq* پلیمراز استفاده شد که حجم کلی محلول واکنش ۳۰ میکرولیتر بود. پس از پایان تکثیر، ۵ میکرولیتر از محصول PCR به روی ژل آگاراز ۱ درصد حاوی اتیدیوم بروماید (Ethidium bromide) الکتروفورز شد باندهای حاصل مورد بررسی قرار گرفتند. برای بررسی اختصاصی بودن آغازگرهای نمونه های DNA نئوسپورا (*Toxoplasma*) و توکسوپلاسم (Neospora) نیز در کنار نمونه های سارکوستیس تحت مطالعه قرار گرفت.

۶-۲- افزودن آنزیم های برش دهنده برای RFLP (Restriction Fragment Length Polymorphism)

آنزیم های *EcoRI* *HincII* *TaqI* *AvaI* که جایگاه های برش آنها به روی قطعه تکثیر شده در هر گونه مشخص است انتخاب و سپس شرایط مطلوب تأثیر آنزیم ارزیابی شد. مقادیر ۱۰ میکرولیتر از محصول PCR و ۲ میکرولیتر از بافر X ۱۰ آنزیم و مقادیر ۱، ۲ و ۳ میکرولیتر آنزیم ۱۰-۸ واحد) و باقی مانده آب قطر تزریقی اضافه شد تا حجم نهایی واکنش به ۲۰ میکرولیتر رسید. سپس زمان های ۴، ۱۰ و ۱۶ ساعت آنزیم در دمای ۳۷ درجه سانتی گراد قرار گرفت.

ابتدا یک بار با نرمال سالین استریل و دو بار با بافر TE ۱۰ Tris-HCl (Tris-EDTA) (Tris-EDTA) ۱ میلی مولار، میلی مولار (pH = ۸) شستشو داده شدند.

۲-۲- مطالعه عضلات از لحاظ آلوودگی به سارکوستیت

برای مطالعه عضلات از لحاظ آلوودگی به سارکوستیت مجموعاً ۶۰ نمونه عضله با روش های گسترش مهری (Dob Smear) و هضمی مورد آزمایش قرار گرفتند در نتیجه، ۴۰ نمونه به کیست های ماکروسکوپی و ۲۰ نمونه به کیست های میکروسکوپی آلوود تشخیص داده شد.

۳-۲- استخراج DNA ژنومی

ابتدا نمونه عضلات را از فریزر خارج و در محیط آزمایشگاه قرار داده شد. استخراج DNA با استفاده از کیت Cinnagen و طبق دستور العمل شرکت انعام شد. مرحله رسوب DNA با اتانول انجام شد: سپس DNA به دست آمده در دمای ۴ درجه سانتی گراد تا زمان استفاده نگهداری شد.

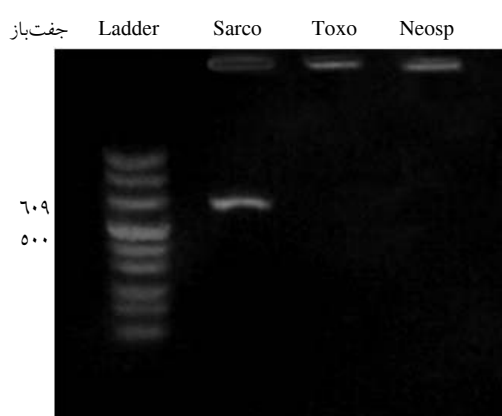
۴-۲- طراحی آغازگرهای PCR (Primers)

توالی کامل زن ۱۸s rRNA سارکوستیتیس تنلا (L24383) و سارکوستیتیس آریتی کنیس (L24382) و سارکوستیتیس ژیگانته آنتخاب (L24384) از <http://www.ncbi.nih.gov/nucleotide> انجام شد. سپس با استفاده از این توالی و با کمک برنامه Gene Runner یک جفت آغازگر طراحی شد. طول بهینه بازها در حدود ۲۰-۱۹ باز است و دمای ذوب مطلوب ۶۰-۵۸ درجه سانتی گراد و نسبت GC تقریباً ۶۰ درصد بوده است.

(Sar-F1): 5' GCA CTT GAT GAA TTC TGG CA 3'
(Sar-R1): 5' CAC CAC CCA TAG AAT CAA G 3'

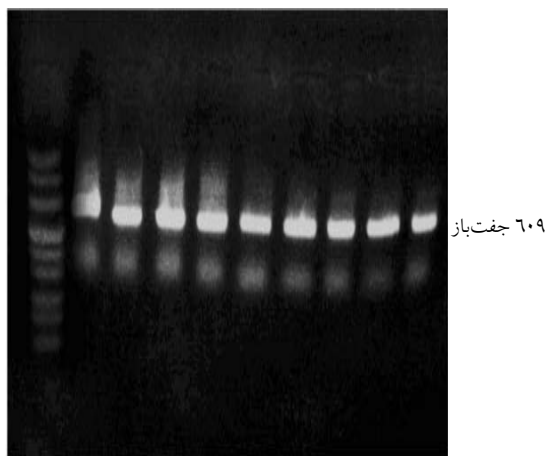
شرایط PCR: یک چرخه ۹۴ درجه سانتی گراد به مدت

سارکوسیستیس را مشخص نمود.



شکل ۱ الکتروفوروز محصول PCR ژن ۱۸s rRNA که در آن قطعه ۶۰۹ جفت بازی فقط برای سارکوسیستیس تکثیر شده است. از چپ به راست: ردیف ۱: نشانگر (Marker)، ردیف ۲: سارکوسیستیس، ردیف ۳: توکسوکارا، ردیف ۴: نوسبورا.

آنزیم *EcoRI* گونه تنلا را برش نمی‌زند ولی گونه ژیگانته آ را در جایگاه ۱ و ۴ و گونه آریتی کنیس را در جایگاه‌های ۲، ۵ و ۶ برش می‌زند، پس انتظار می‌رود در باند ۶۰۹ جفت بازی تغییر چندان محسوسی مشاهده نشود.



شکل ۲ الکتروفوروز محصول PCR ژن ۱۸s rRNA که در آن قطعه ۶۰۹ جفت بازی برای چندین نمونه سارکوسیستیس تکثیر شده است.

گونه‌های تنلا و آریتی کنیس را برش نمی‌زنند ولی *HincII* گونه ژیگانته آ را در جایگاه ۱ و ۱۱ برش می‌زنند. پس انتظار می‌رود دو باند ۴۱۰ و ۱۹۸ جفت بازی مشاهده شود. آنزیم *TaqI* گونه تنلا را در جایگاه ۱ و ۳۳۴ و گونه

۷-۲- الکتروفوروز نمونه‌های RFLP شده

ابتدا ژل آگارز ۱/۵ درصد حاوی اتیدیوم بروماید تهیه شد. نمونه‌های آنزیم زده شده و محصول PCR همان نمونه قبل از افزودن آنزیم و پس از افزودن آنزیم در چاهک‌ها کنار هم در سمت کاتد لود (Load) شدند و به مدت ۹۰ دقیقه در دمای اتاق الکتروفوروز شدند. پس از پایان زمان الکتروفوروز ژل از باندهای مشاهده شده عکس برداری شد.

۳- نتایج

در مطالعه حاضر مجموعاً ۶۰ نمونه بافت‌های عضلات بین دندنه‌ای و دیافراگم از گوسفندان ذبح شده در کشتارگاه زیارتان قزوین جمع‌آوری شد که با روش‌های هضمی و گسترش مهری ۱۰۰ درصد عضلات مورد مطالعه حاوی انگل تشخیص داده شدند که ۴۰ نمونه آن حاوی کیست‌های ماکروسکوپی و ۲۰ نمونه آن حاوی کیست‌های میکروسکوپی بوده است. عموماً گونه‌های سارکوسیستیس ژیگانته آ و سارکوسیستیس ملوزیفورمیس دارای کیست‌های ماکروسکوپی و گونه‌های سارکوسیستیس تنلا و سارکوسیستیس آریتی کنیس دارای کیست‌های میکروسکوپی هستند و برای تفکیک این گونه‌ها از یکدیگر از روش مولکولی استفاده شد.

۱-۳- نتایج PCR

از تکثیر ژن ۱۸s rRNA مربوط به نمونه‌های نوسبورا و توکسوپلاسمما با آغازگر طراحی شده هیچ باندی مشاهده نشد. در نتیجه آغازگرها کاملاً اختصاصی بوده و جنس سارکوسیستیس را از سایرین متمایز می‌سازد (شکل ۱).

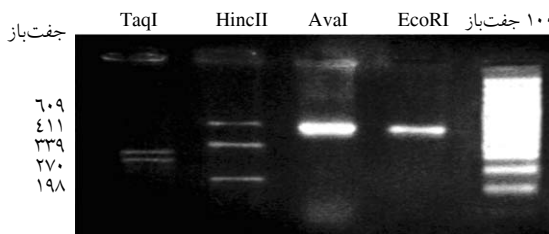
نتایج الکتروفوروز محصول PCR ژن ۱۸s rRNA سارکوسیستیس قطعه‌ای ۶۰۹ جفت بازی را نشان داد (شکل ۲).

۲-۳- نتایج RFLP

نتیجه برش قطعه تکثیر شده ۱۸s rRNA با هر یک از آنزیم‌های *EcoRI*, *HincII*, *TaqI*, *AvaI* سه گونه

در شکل ۴ الکتروفورز محصول PCR ژن rRNA ۱۸S سارکوستیس مربوط به ماکروکیست‌های جدا شده از گوسفند است که در آن قطعه ۶۰۹ جفت‌بازی با آنزیم‌های *TaqI HincII AvaI EcoRI* برش داده شده است و همگی نمونه‌ها دارای الگوی واحد بودند؛ بدین ترتیب که همگی در اثر آنزیم *TaqI* برش خورده و دو باند ۲۷۰ و ۳۳۸ جفت‌بازی در مقابله با آنزیم *HincII* نیز برش خورده و باندهای ۴۱۱ و ۱۹۸ جفت‌بازی را نشان دادند ولی در مقابله سایر آنزیم‌ها هیچ گونه برشی مشاهده نشد. این الگوی RFLP با الگوی سارکوستیس ژیگانته آ کاملاً مطابقت دارد (شکل ۴).

به طور کلی آنزیم *TaqI* گونه‌های آریتی کانیس و تنلا که به کیست‌های میکروسکوپی متعلقند و همچنین آنزیم‌های *TaqI HincII* گونه‌های ژیگانته آ و مدوزیفورمیس که به کیست‌های ماکروسکوپی متعلق هستند را به راحتی از هم تغییک می‌کنند.



شکل ۴ الکتروفورز محصول PCR ژن rRNA ۱۸S سارکوستیس ژیگانته آ جدا شده از گوسفند که در آن قطعه ۶۰۹ جفت‌بازی با آنزیم‌های *EcoRI* برش داده است. از چپ به راست) ردیف ۱: برش قطعه با آنزیم *TaqI* (دو باند ۲۷۰، ۳۳۹)، ردیف ۲: برش قطعه با آنزیم *HincII* (سه باند ۶۰۹، ۴۱۱ و ۱۹۸)، ردیف‌های ۳، ۴: برش قطعه با *AvaI* و *EcoRI* (بدون برش) و ردیف ۵: نشانگر (۱۰۰ جفت‌بازی) را نشان می‌دهد.

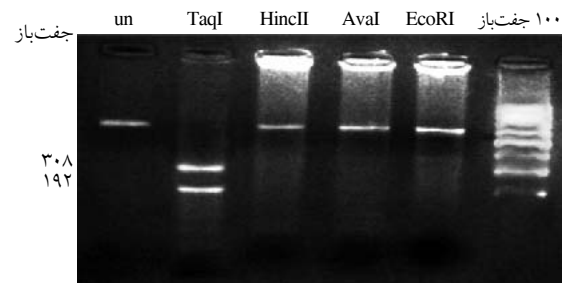
۴- بحث

سابقاً گونه‌های سارکوستیس را براساس خصوصیات ریخت‌شناسی کیست‌ها (شکل اندازه و ضخامت دیواره)، میزان اختصاصی، خصوصیات فرا ریزیبینی دیواره کیست و خصوصیات ایزوآنزیمی گونه‌ها طبقه‌بندی می‌کردند. در سال‌های اخیر از روش‌های مولکولی برای تشخیص گونه‌ها و زیرگونه‌های مختلف سارکوستیس استفاده شده است. در این

ژیگانته آ را در جایگاه ۱ و ۳۳۹ و گونه آریتی کانیس را در جایگاه‌های ۳، ۵۱، ۱۰۹ و ۳۰۱ را برش می‌زنند، پس انتظار می‌رود باندهای ۲۷۵ و ۳۳۳ جفت‌بازی در گونه تنلا و باندهای ۵۸، ۴۸ و ۳۳۸ جفت‌بازی در گونه ژیگانته آ باندهای ۴۸، ۵۸، ۱۹۲، و ۳۰۸ جفت‌بازی در گونه آریتی کانیس مشاهد شود.

آنژیم *AvaI* در گونه تنلا جایگاه‌های ۲، ۳۴ و ۱۰۸ را برش می‌زنند پس انتظار می‌رود باندهای ۳۲، ۷۴ و ۵۰۱ جفت‌بازی مشاهده شود. ولی گونه‌های ژیگانته آ و آریتی کانیس را برش نمی‌زنند. باندهای به دست آمده پس از الکتروفورز مورد بررسی و ارزیابی قرار گرفتند. الکتروفورز هر نمونه برش شده با آنزیم در کنار محصول PCR همان نمونه، قبل از افزودن آنزیم به چاهک‌ها افزوده و الکتروفورز شد. باندهایی که در اثر برش آنزیم ایجاد شده تشخیص داده شد.

در شکل ۳ الکتروفورز محصول PCR ژن rRNA ۱۸S سارکوستیس مربوط به میکروسکوپی کیست‌های جدا شده از گوسفند که در آن قطعه ۶۰۹ جفت‌بازی با آنزیم‌های *HincII AvaI EcoRI* برش داده شده است و همگی نمونه‌ها دارای الگوی واحد بودند؛ بدین ترتیب که همگی در اثر آنزیم *TaqI* دو باند ۱۹۲ و ۳۰۸ جفت‌بازی را نشان دادند ولی در مقابله سایر آنزیم‌ها هیچ گونه برشی مشاهده نشد. این الگوی RFLP با الگوی سارکوستیس آریتی کانیس کاملاً مطابقت دارد (شکل ۳).



شکل ۳ الکتروفورز محصول PCR ژن rRNA ۱۸S سارکوستیس آریتی کانیس جدا شده از گوسفند که در آن قطعه ۶۰۹ جفت‌بازی با آنزیم‌های *TaqI HincII AvaI EcoRI* برش داده شده است. (از چپ به راست) ردیف ۱: محصول قبل از برش، ردیف ۲: برش قطعه با *TaqI* (دو باند ۱۹۲، ۳۰۸ و باندهای ۴۸، ۵۸ که قابل مشاهده نیستند)، ردیف‌های ۳، ۴، ۵ و ۷: برش قطعه با *AvaI EcoRI HincII* و ردیف ۶: نشانگر (۱۰۰ جفت‌بازی) را نشان می‌دهد.

در سال ۱۹۹۷ مطابقت دارد. در آن مطالعه براساس توالی ژنی قطعه ۱۸s rRNA گونه‌های بیماری‌زا و غیر بیماری‌زا سارکوستیتیس دامی و سایر کوکسیدیاهای کیست‌زا مورد بررسی فیلوزنیکی قرار گرفته‌اند [۱۹].

نتایج نشان دادند که سیستیزوتیت‌هایی (Cystozoites) که از نظر شکل و اندازه ظاهری یکسان دارند پس از تکثیر قطعه و برش با آنزیم‌ها و روی ژل باندهایی با الگوی مشابه دارند، بنابراین طبق نتایج این مطالعه کیست‌های ماکروسکوپی به عنوان سارکوستیتیس ژیگانتهآ و کیست‌های میکروسکوپی به عنوان سارکوستیتیس آریتی‌کنیس تشخیص داده شد. این اولین گزارش تشخیص مولکولی سارکوستیتیس ژیگانتهآ و سارکوستیتیس آریتی‌کنیس در ایران است.

سارکوستیتیس آریتی‌کنیس دارای انتشار جهانی است و از مناطقی مانند اروپا، استرالیا، نیوزیلند، ایالات متحده آمریکا گزارش شده است. میزان قطعی این گونه سگ و سگ‌سانان هستند. سارکوستیت‌ها در عضلات مخطط گوسفندان یافت می‌شود و طول آن‌ها تا ۹۰۰ میکرومتر می‌رسد. سارکوستیتیس آریتی‌کنیس بیماری زاست ولی شدت آن کمتر از سارکوستیتیس تنلا است [۱].

سارکوستیتیس ژیگانتهآ یا سارکوستیتیس اووی‌فلیس (S. ovifelis) دارای انتشار جهانی است. میزان قطعی آن گربه‌های اهلی گزارش شده است. سارکوستیت‌های سارکوستیتیس ژیگانتهآ در عضلات مری، حنجره، زبان و تا حد کمتری در دیافراگم و سایر عضلات گوسفندان یافت می‌شوند. سارکوستیت‌ها در عضلات قلب و سیستم اعصاب مرکزی وجود ندارند. سارکوستیت‌های ماکروسکوپی در گوسفندان مسن دیده می‌شود. این سارکوستیت‌ها تا یک سانتی‌متر طول داشته به رنگ سفید کدر با شکل کروی بیضوی یا گلابی شکل بوده و گاهی به دانه‌های برنج شباهت دارند. سارکوستیتیس ژیگانتهآ بیماری‌زایی خفیفی برای گوسفند دارد.

در اثر آلدگی حاد به گونه‌های تنلا و آریتی‌کنیس ممکن است سقط جنین گوسفندی رخ دهد [۲۰-۲۲]. از طرفی طبق مطالعات انجام شده در برخی از مناطق ایران حدود

رابطه می‌توان به مطالعات تتر و همکاران (۱۹۹۲)، هولمداد و همکاران (۱۹۹۳)، تتر و همکاران (۱۹۹۴) تتر (۱۹۹۵)، جفریز و همکاران (۱۹۹۶)، جواشیم و همکاران (۱۹۹۶)، ماگریج و همکاران (۱۹۹۹) و هکروت و تتر (۱۹۹۹) یانگ و همکاران (۲۰۰۲) اشاره کرد [۱۰-۱۸]. در اکثر این مطالعات توالی ژن زیر واحد کوچک rRNA برای بررسی رابطه فیلوزنیک گونه‌های سارکوستیتیس با یکدیگر و با سایر کوکسیدیاهای (Coccidia) و کیست‌زا مانند توکسپولاسما گوندی (*Toxoplasma gondii*) و نوسپورا کانینوم (*Neospora caninum*) به کار گرفته شده است. از آنجایی که این مطالعات همه براساس مطالعه ۱۸s rRNA بود به همین دلیل در این مطالعه نیز ۱۸s rRNA برای تعیین گونه‌های سارکوستیتیس گوسفندی انتخاب شد. طول این قطعه در همه گونه‌ها ۶۰۹ جفت‌باز بوده است.

در مرحله بعد آنزیم برش دهنده مناسب انتخاب شد. این آنزیم‌ها پس از برش قطعه، برای هر گونه، الگوی الکتروفورزی یا باندهایی با اندازه متفاوت ایجاد می‌کند. الکتروفورز محصول PCR ژن ۱۸s rRNA سارکوستیتیس مربوط به میکروکیست‌های جدا شده از گوسفند است که در آن قطعه ۶۰۹ جفت‌بازی با آنزیم‌های *TaqI HincII Aval EcoRI* برش داده شده است و همگی نمونه‌ها دارای الگوی واحد بودند؛ بدین ترتیب که همگی در اثر آنزیم *TaqI* دو باند ۱۹۲ و ۳۰۸ جفت‌بازی را نشان دادند ولی در مقابل سایر آنزیم‌ها هیچ گونه برشی مشاهده نشد. این الگوی RFLP با الگوی سارکوستیتیس آریتی‌کنیس کاملاً مطابقت دارد. از طرفی محصول تکثیر یافته ژن مذکور در نمونه ماکروکیست‌های سارکوستیتیس ژیگانتهآ در مقابل آنزیم *TaqI* برش خورده دو باند ۲۷۰ و ۳۳۸ جفت‌بازی و در مقابل آنزیم *HincII* نیز برش خورده و باندهای ۱۹۸ و ۴۱۱ جفت‌بازی را نشان داد ولی در مقابل سایر آنزیم‌ها هیچ گونه برشی مشاهده نشد. بنابراین در روش PCR-RFLP برای تفکیک گونه‌های متعلق به کیست‌های میکروسکوپی گوسفندان بهترین آنزیم *TaqI* و برای تفکیک گونه‌های متعلق به کیست‌های ماکروسکوپی گوسفندان بهترین آنزیم *HincII* است. نتایج مطالعه حاضر با مطالعه تتر و جانسون (Johnson)

سریع‌تر و با صرفه‌تر است.

در مرحله حاد ابتلا به سارکوستیس تنلا و آریتی‌کانیس انگل در خون با روش PCR قابل ردیابی است [۱۷]. با توجه به نقش این دو گونه انگل در ایجاد سقط جنین در میش‌های آبستن، انجام آزمایش‌های PCR-RFLP اختصاصی سارکوستیس روی خون برای علت‌یابی وقوع سقط جنین می‌تواند موضوعی جدید و قابل تأمل باشد.

۵- تشکر قدردانی

مقاله حاضر بخشی از طرح تحقیقاتی شماره ۲۰۲۴-۲۵۰۰۰-۰۴-۰۰۰۰-۸۵۰۳۶ و سرم‌سازی رازی است و کلیه اعتبارات آن توسط مؤسسه مذکور تأمین شده است. بنابراین نویسنده‌گان از مسئولین و همکاران محترم معاونت پژوهشی، بخش‌های انگل‌شناسی و بیوتکنولوژی و همچنین سازمان دامپزشکی کشور خصوصاً آفایان دکتر مشکوه و دکتر نجار نهایت تشکر و قدردانی را دارند.

۱۰۰ درصد گوسفندان آلوده به سارکوستیس هستند [۹]. بنابراین برای تشخیص گونه‌های بیماری‌زای سارکوستیس در دام زنده به‌روش بسیار حساس و اختصاصی نیاز است روش‌های سرولوژیکی از قبیل روش‌های الیزا (Enzyme-Linked immunosorbent Assay: ELISA) و (Indirect Fluorescent Antibody) IFA گرچه قادر به تشخیص آلودگی هستند ولی برای تفکیک گونه‌های بیماری‌زای غیر بیماری‌زای سارکوستیس فاقد کارامدی لازم هستند [۱۷]. بنابراین با روش سرولوژی نمی‌توان به درستی عامل سقط جنین را تشخیص داد.

در مطالعه حاضر با طراحی الیگونوکلئوتید اختصاصی برای سارکوستیس گوسفندی ابتدا جنس سارکوستیس از سایر کوکسیدیاهای سازنده کیست بافتی از قبیل توکسوپلاسمای تفکیک داده شد. سپس گونه‌های بیماری‌زای غیر بیماری‌زای روش RFLP از همدیگر تمایز شدند. مطالعه حاضر نشان داد که بر مبنای روش PCR-RFLP گونه‌های سارکوستیس گوسفندی را می‌توان از هم تفکیک کرد، این روش از روش DNA Sequencing

۶- منابع

- [1] Dubey JP, Speer CA, Fayer R. *Sarcocystosis of animals and man*. Boca Raton: Florida, CRC Press 1989; p: 95-9.
- [2] Collins GH, Atkinson E, Charleston WA. Studies on *Sarcocystis* species III: The macrocystic species of sheep. N Z Vet J 1979; 27: 204-6.
- [3] Afshar A, Naghshineh R, Neshat H. Incidence of sarcosporidiosis in sheep in Iran. Trop Anim Health Prod 1974; 6(4): 192.
- [4] Oryan A, Moghaddar N, Gaur SN. The distribution pattern of *Sarcocystis* species, their transmission and pathogenesis in sheep in Fars province of Iran. Vet Res Commun 1996; 20(3): 243-53.
- [5] Iraji N. Survey on Sarcocystosis in ruminants slaughtered in Khoi city. Presented for DVM Uromia, Uromia University, 1995. (Persian)
- [6] Razmi Gh, Rahbari S. Survey on Sarcocystosis in domesticated ruminants slaughtered in Tehran and Golestan provinces. IVJ, 2000; 4:39-46. (Persian)
- [7] Shekarforoush SSh, Alikhani R. Prevalence of sarcocyst in slaughtered sheep in Isfahan, Iran. Pajouhesh & Sazandegi 2003; 58: 68-72. (Persian)
- [8] Arshad M, Dalimi A, Ghaffarifar F. Comparative study on sarcocystis diagnosis in meat of slaughtered sheep in Tabriz. Pajouhesh &

- Sazanegi 2007; 75: 68-72. (Persian)
- [9] Razavi SM, Shekarforoush SS, Farahani M, Sarihi K. Prevalence of *Sarcocystis* in slaughtered sheep in Shiraz, Iran. *J Vet Parasitol* 2003; 17(2): 139-41.
- [10] Tenter AM, Baverstock PR, Johnson AM. Phylogenetic relationships of *Sarcocystis* species from sheep, goats, cattle and mice based on ribosomal RNA sequences. *Int J Parasitol* 1992; 22(4): 503-13.
- [11] Holmdahl OJ, Mattsson JG, Uggla A, Johansson KE. Oligonucleotide probes complementary to variable regions of 18S rRNA from *Sarcocystis* species. *Mol Cell Probes* 1993; 7(6): 481-6.
- [12] Tenter AM, Luton K, Johnson AM. Species-specific identification of *Sarcocystis* and *Toxoplasma* by PCR amplification of small subunit ribosomal RNA gene fragments. *Appl Parasitol* 1994; 35(3): 173-88.
- [13] Tenter AM. Current research on *Sarcocystis* species of domestic animals. *Int J Parasitol* 1995; 25(11): 1311-30.
- [14] Jeffries AC, Amaro N, Tenter AM, Johnson AM. Genetic diversity in *Sarcocystis gigantea* assessed by RFLP analysis of the ITS1 region. *Appl Parasitol* 1996; 37(4): 275-83.
- [15] Joachim A, Tenter AM, Jeffries AC, Johnson AM. A RAPD-PCR derived marker can differentiate between pathogenic and non-pathogenic *Sarcocystis* species of sheep. *Mol Cell Probes* 1996; 10(3): 165-72.
- [16] Mugridge NB, Morrison DA, Johnson AM, Luton K, Dubey JP, Votýpka J, Tenter AM. Phylogenetic relationships of the genus *Frenkelia*: a review of its history and new knowledge gained from comparison of large subunit ribosomal ribonucleic acid gene sequences. *Int J Parasitol* 1999; 29(6): 957-72.
- [17] Heckereth AR, Tenter AM. Development and validation of species-specific nested PCRs for diagnosis of acute sarcocystosis in sheep. *Int J Parasitol* 1999; 29(8): 1331-49.
- [18] Yang ZQ, Li QQ, Zuo YX, Chen XW, Chen YJ, Nie L, Wei CG, Zen JS., Attwood SW, Zhang XZ, Zhang YP. Characterization of *Sarcocystis* species in domestic animals using a PCR-RFLP analysis of variation in the 18S rRNA gene: a cost-effective and simple technique for routine species identification. *Exp Parasitol* 2002; 102(3-4): 212-7.
- [19] Tenter, AM, Johnson AM. Phylogeny of the tissue cyst-forming coccidia. *Adv Parasitol* 1997; 39: 69- 139.
- [20] Leek RG, Fayer R. Sheep experimentally infected with *Sarcocystis* from dogs. II. Abortion and disease in ewes. *Cornell Vet* 1978, 68(1): 108-23.
- [21] Munday BL. Premature parturition in ewes inoculated with *Sarcocystis ovicanis*. *Vet Parasitol* 1981; 9(1): 17-26.
- [22] Fayer R, Dubey JP. *Sarcocystis* induced abortion and fetal death. *Prog Clin Biol Res* 1988; 281: 153-64.

